

11
K82

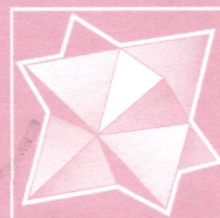
ISSN 0023-4761

Том 60, Номер 3

Май - Июнь 2015



КРИСТАЛЛОГРАФИЯ



<http://www.naukaran.ru>
<http://www.maik.ru>



“НАУКА”

СОДЕРЖАНИЕ

Том 60, номер 3, 2015

ОБЗОРЫ

Особенности строения мономерных октаэдрических оксокомплексов d^2 -рения(V).

2. Структура монооксосоединений d^2 -Re(V) с атомами азота в *транс*-позициях к лигандам O(оксо)

В. С. Сергиенко, А. В. Чураков

365

СТРУКТУРА НЕОРГАНИЧЕСКИХ СОЕДИНЕНИЙ

Высокожелезистый бустамит из Брокен Хилла, Австралия: кристаллическая структура и особенности катионного упорядочения

*С. М. Аксенов, Н. В. Щипалкина, Р. К. Расцветаева,
В. С. Русаков, И. В. Пеков, Н. В. Чуканов, В. О. Япаскурт*

385

Связь дефектного строения с фтор-ионной проводимостью кристаллов $\text{La}_{1-y}\text{Sr}_y\text{F}_{3-y}$ ($0 \leq y \leq 0.15$) по данным рентгеновской и нейтронной дифракции

*Н. Б. Болотина, Т. С. Черная, А. И. Калюканов, И. А. Верин,
Н. И. Сорокин, Л. Е. Фыкин, Н. Н. Исакова, Б. П. Соболев*

391

$\text{Fe}_{2.5}^{3+}[\text{BP}_2\text{O}_7(\text{OH})_2][\text{PO}_3(\text{OH})][\text{PO}_3(\text{O}_{0.5}\text{OH}_{0.5})] \cdot \text{H}_2\text{O}$ – новый фосфат-борофосфат с микропоровой структурой

Е. Л. Белоконева, О. В. Димитрова

406

СТРУКТУРА МАКРОМОЛЕКУЛЯРНЫХ СОЕДИНЕНИЙ

Кристаллизация и предварительное рентгеновское исследование кристаллов свиной карбоксипептидазы В

В. Х. Акпаров, В. И. Тимофеев, И. П. Куранова

413

РЕАЛЬНАЯ СТРУКТУРА КРИСТАЛЛОВ

Электронная микроскопия пленок халькогенидов железа FeTe(Se)

*И. О. Щичко, М. Ю. Пресняков, Е. А. Степанцов,
С. М. Казаков, Е. В. Антипов, И. П. Макарова, А. Л. Васильев*

416

Блочность и остаточные напряжения в стержнях сапфира различной кристаллографической ориентации, выращиваемых способом Степанова

*В. М. Крымов, Ю. Г. Носов, С. И. Бахолдин, В. Н. Маслов,
И. Л. Шульпина*

423

ФИЗИЧЕСКИЕ СВОЙСТВА КРИСТАЛЛОВ

Граница проводимости фторпроводящих твердых электролитов для функционирования электрохимических устройств при комнатной температуре

Н. И. Сорокин, Б. П. Соболев

431

ПОВЕРХНОСТЬ, ТОНКИЕ ПЛЕНКИ

Выращивание бездвойниковых пленок

$\text{YBa}_2\text{Cu}_3\text{O}_{7-x}$ *b*-ориентации

Е. А. Степанцов, Р. Арпайя, Ф. Ломбарди

440

Структурные и электрофизические свойства

НЕМТ-наногетероструктур

$\text{In}_{0.52}\text{Al}_{0.48}\text{As}/\text{In}_{0.53}\text{Ga}_{0.47}\text{As}/\text{In}_{0.52}\text{Al}_{0.48}\text{As}/\text{InP}$

с различной комбинацией нановставок InAs

и GaAs в квантовой яме

*Г. Б. Галиев, А. Л. Васильев, И. С. Васильевский,
Р. М. Имамов, Е. А. Климов, А. Н. Клочков, Д. В. Лаврухин,
П. П. Мальцев, С. С. Пушкарёв, И. Н. Трунькин*

445

НАНОМАТЕРИАЛЫ

Влияние модифицирования метиленовым синим
на структурные, морфологические и фотокаталитические
свойства наноразмерного диоксида титана η -модификации

*Л. Н. Оболенская, М. А. Запорожец, Г. М. Кузьмичева,
Е. В. Савинкина, В. В. Подбельский, С. В. Амарантов,
Н. В. Садовская, Н. А. Прокудина,
А. С. Авилов, В. И. Николайчик*

455

Модульный дизайн локально упорядоченных
тетраэдрических структур.

III. Структурный механизм неравновесного волокнистого
и грубослоистого нормального роста кристаллов алмаза

Н. А. Бульенков, Е. А. Желиговская

467

РОСТ КРИСТАЛЛОВ

Оценка кинетических параметров кристаллизации GaSb

А. Э. Волошин

477

Исследование фазовых равновесий в системе

$\text{Rb}_3\text{H}(\text{SO}_4)_2\text{-RbH}_2\text{PO}_4\text{-H}_2\text{O}$

*В. А. Коморников, В. В. Гребенев, П. В. Андреев,
Е. В. Дмитричева*

481

Основные характеристики процесса нуклеации
в модельных растворах ротовой полости

О. А. Голованова, Е. С. Чиканова, Ю. О. Пунин

488

ПРОГРАММНОЕ ОБЕСПЕЧЕНИЕ

POLARCALC – программа для расчета коэффициента
линейной поляризации с использованием двумерного
детектора

Д. С. Молоденский, С. Н. Сульянов

496

НЕКРОЛОГИ

Вячеслав Михайлович Пузиков (14.08.1947–11.12.2014)

499

ИНФОРМАЦИЯ

ПОПРАВКА к статье Г. Б. Галиева, А. Л. Васильева,
Р. М. Имамова, Е. А. Климова, П. П. Мальцева,
С. С. Пушкарёва, М. Ю. Преснякова, И. Н. Трунькина
“Структурные и электрофизические свойства
InAlAs/InGaAs/InAlAs *HEMT*-гетероструктур
на подложках InP с нановставками InAs
в квантовой яме”. 2014. Т. 59. № 6. С. 990–998